

Н. Е. САРКИСЯН

УСТАЛОСТНЫЕ СВОЙСТВА ОРТОГОНАЛЬНО АРМИРОВАННОГО НЕРАВНОПРОЧНОГО СТЕКЛОПЛАСТИКА

Исследование механических свойств ортогонально армированных неравнопрочных композиционных материалов в условиях длительного нагружения представляет определенный интерес [1]. Между тем имеется крайне мало данных о механическом поведении этих материалов при циклическом воздействии нагрузки [2].

Целью настоящей работы явилось экспериментальное изучение усталостных свойств ортогонально ориентированного стеклопластика типа СВАМ 5:1 на бутвар-фенольном (БФ-4) связующем при многоцикловом симметричном осевом растяжении—сжатии. Рассмотрено влияние анизотропии материала, для чего нагрузка прикладывалась вдоль волокон ($\varphi=0^\circ$ и 90°)^{*} и в диагональном направлении ($\varphi=45^\circ$).

Методика экспериментального исследования и статистической обработки опытных результатов описана в работе [2]. Усталостные испытания проводились в режиме нагружения $\dot{\rho}=\text{const}$ при частоте 1200 цикл/мин. На каждом уровне циклического напряжения было испытано 3 образца. Для определения статической кратковременной прочности композита испытывалось по 5 образцов. Испытания проводились в нормальных условиях среды при температуре, колебавшейся в пределах 19—23°C.

§ 1. На фиг. 1 показаны усталостные диаграммы Велера. Параметры линейного корреляционного уравнения $\sigma_a = \lg N$ по участкам диаграмм приведены в табл. 1. Там же помещены значения пределов прочности стеклопластика σ_y при растяжении, которые соответствуют постоянной скорости перемещения захватов разрывной машины, равной 6 мм/мин. Заметен существенный разброс данных по σ_y , относящихся к образцам, вырезанным в диагональном направлении.

Сравнение полученных здесь результатов с данными экспериментов над стеклопластиком типа СВАМ 5:1 на эпокси-фенольном связующем [2] дает некоторое представление о влиянии типа связующего на усталостные свойства композита**.

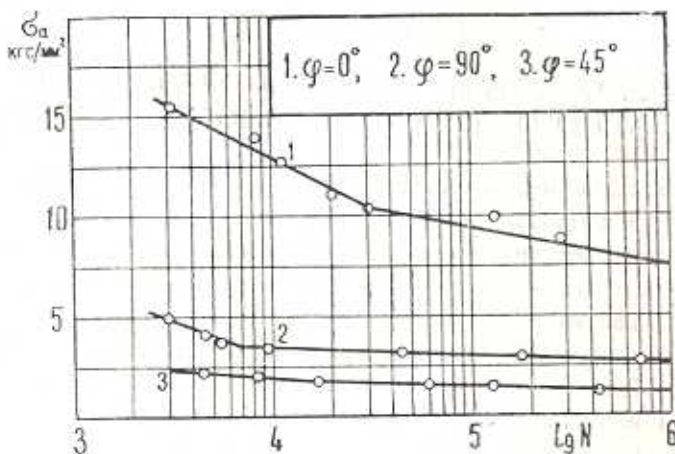
В данном случае тип связующего (эпокси-фенольное с применением фенольных смол резольного типа и бутвар-фенольное) мало влияет как на статическую кратковременную прочность стеклопластика при растяжении, так и на усталостную прочность при симметричном растяжении—сжатии.

При нагружении композита в направлении $\varphi=0^\circ$, когда нагрузку воспринимают волокна, величина σ_y и усталостной прочности для обоих

* Отсчет угла φ здесь ведется от направления укладки большего числа волокон.

** Влияние типа связующего, в частности, на циклическую прочность стеклопластиков, изучено во многих работах [3], [4] и др.

стеклопластиков практически одинакова, а в диагональном направлении прочность СВАМ 5:1 на БФ-4 на 15% ниже.



Фиг. 1.

Между тем, в обсуждаемых здесь опытах кратковременная прочность пластика на смоле БФ-4 в направлении $\varphi = 90^\circ$ оказалась даже выше ($\sim 10\%$), чем стеклопластика на эпокси-фенольном связующем, в то время как усталостная прочность для обоих стеклопластиков почти одинакова.

Таблица 1

Угол наклона образца φ , град.	Предел прочности τ_b , кгс/мм ²	Коэффициент пульсации τ_b/τ_a	Угл. пропн. точки перехода Ана-гравим. кис., мкм	Номер участка аналпр.	Параметры корреляции уравнения $\tau_a = A + B \lg N$			Коэф. уст. прочн. на базе 10^6 часа.	Критическая температура разгона T_g , °С	Температура разогрева при разрыве T_r , °С
					A	B	коэффиц. корреляции			
0	65.75	2.74	10.80	1	33.0680	5.0403	-0.9647	0.11	32.0 ± 0.5	42.5 ± 2.5
				2	19.8936	2.0585	-0.8390			
45	12.15	11.92	1.80	1	5.7628	0.9480	-0.1206	0.10	32.0 ± 1.0	46.0 ± 1.5
				2	3.1496	0.3242	-0.8333			
90	25.05	2.32	3.65	1	16.7337	3.4042	-0.8873	0.11	56.0 ± 1.5	77.5 ± 3.0
				2	5.3729	0.4481	-0.9698			

Если иметь в виду заметно низкую адгезионную прочность буттар-фенольного связующего к стекловолокну [3], то указанное несоответствие может быть лишь следствием неточности в порядке укладки стеклошпонов в листе (неточного набора пакета) в ортогональных направлениях. Как известно [5], это заметно искажает (в нашем случае повышает) предел прочности ортогонально неравнопрочного стеклопластика в направлении меньшего числа волокон, хотя его влияние может не проявляться в основном направлении армирования, где укладываемое число волокон в 5 раз больше.

Следует отметить, что циклическая прочность образцов в точке перегиба усталостной диаграммы $\sigma_a - \lg N$, которая характеризует особенности процесса многоцикловой усталости материалов [6], меняется пропорционально σ_b в зависимости от типа связующего при $\varphi=0^\circ$ и 45° , в то время как в направлении $\varphi=90^\circ$ имеет место уже обратная пропорциональная зависимость.

Указанное здесь несоответствие между величиной $\sigma_b = 25.05 \text{ кг/мм}^2$ (22.20) и усталостной прочности образцов в точке перегиба $\sigma_a - \lg N$, равной 3.65 кг/мм^2 (4.20)*, вместе с тем свидетельствует об отсутствии жесткой корреляции между σ_b и усталостной прочностью материала.

В этой связи рассмотрим влияние типа связующего на изменение параметра B в корреляционном уравнении $\sigma_a - \lg N$. Очевидно, чем больше значение параметра B , тем материал более чувствителен к циклическому нагружению.

С другой стороны, чувствительность стеклопластиков к циклическому нагружению определяется другим параметром — коэффициентом усталостной прочности K . Чем меньше значение K , тем материал более чувствителен к циклическому нагружению.

Для полной оценки сопротивляемости материала усталостному разрушению, на наш взгляд, следует не ограничиваться только коэффициентом K , а желательно рассматривать также и параметр B . Для идеального материала имели бы $K=1.00$ и $B=0$, для реальных материалов — $K < 1$ и $B > 0$.

Что касается коэффициента усталостной прочности K , вычисляемого в данной работе по отношению к пределу прочности на растяжение σ_b , то на базе 10^6 циклов он оказывается равным ~ 0.10 и не зависящим как от угла нагружения φ , так и от типа связующего (см. табл. 1 и работу [2]).

Как показывает анализ полученных данных, в области малой долговечности падение усталостной прочности для СВАМ 5:1 на эпокси-фенольном связующем независимо от угла φ в 1.5—1.7 раза больше, чем для пластика на связующем БФ-4. На участке большой долговечности, который с инженерной точки зрения представляет нам больший интерес, это отношение составляет 1.3 и 2.2 ($\varphi=45^\circ$ и 90°) и, наоборот, 0.63 для образцов, вырезанных в направлении $\varphi=0^\circ$.

Рассмотрим также изменение отношения B/σ_b . Как показывают расчеты, по этому отношению тоже, независимо от угла φ , более чувствительным к циклическому нагружению является стеклопластик на эпокси-фенольном связующем.

Таким образом, можно заключить, что стеклопластик СВАМ 5:1 на эпокси-фенольном связующем в целом более чувствителен к циклическому растяжению—сжатию, чем СВАМ 5:1 на смоле БФ-4. По нашим данным, только при $\varphi=0^\circ$ и большой долговечности чувствительность стеклопластика на БФ-4 больше, чем пластика на эпокси-фенольном связующем.

* Цифры в скобках соответствуют СВАМ 5:1, $\varphi=90^\circ$, на эпокси-фенольном связующем [2].

§ 2. Стеклопластики проявляют высокую чувствительность к направлению внешней нагрузки, что проявляется в анизотропии прочности материала.

Установлено, что анизотропия прочности ориентированного стеклопластика при циклическом нагружении выражена сильнее, чем при статическом воздействии нагрузки [2, 7].

Численной характеристикой чувствительности стеклопластика к направлению действия нагрузки может служить коэффициент степени анизотропии прочности φ , определяемый отношением величины прочности при данном угле нагружения (σ°) к соответствующей прочности при $\varphi=0^\circ$ [7]

$$\varphi = \frac{\sigma^\circ}{\sigma^0}$$

где σ^0 и σ° — статическая, либо усталостная прочность композита при одинаковой долговечности N и идентичности прочих экспериментальных условий нагружения.

В работах [2, 7] было обнаружено определенное изменение степени анизотропии усталостной прочности стеклопластиков в зависимости от долговечности, при этом рассматривалось влияние угла нагружения φ , асимметрии цикла напряжений, типа связующего и соотношения волокон в ортогональных направлениях. Примечательным оказалось то, что по мере увеличения долговечности анизотропия усталостной прочности СВАМ на эпокси-фенольном связующем во всех случаях усиливалась (коэффициент φ уменьшался) [2], в то время как для СВАМ 1:1 на бутвар-фенольном связующем, наоборот, анизотропия уменьшалась [7].

Анализ полученных экспериментальных результатов показывает (табл. 2), что и для ортогонально неравнопрочного СВАМ 5:1 на связующем БФ-4 анизотропия усталостной прочности выражена сильнее, чем анизотропия предела прочности σ_y , и, кроме того, она снова проявляет тенденцию к ослаблению по мере увеличения долговечности. В этом заключена одна из принципиальных особенностей влияния типа рассмотренных связующих на усталостные свойства стеклопластика.

§ 3. Циклический разогрев ортогонально неравнопрочного стеклопластика проявляется при испытаниях на многоцикловую усталость.

На фиг. 2 приведены характерные кривые кинетики разогрева $\Delta T - N$ в зависимости от амплитудной величины напряжения и угла φ ориентации нагрузки.

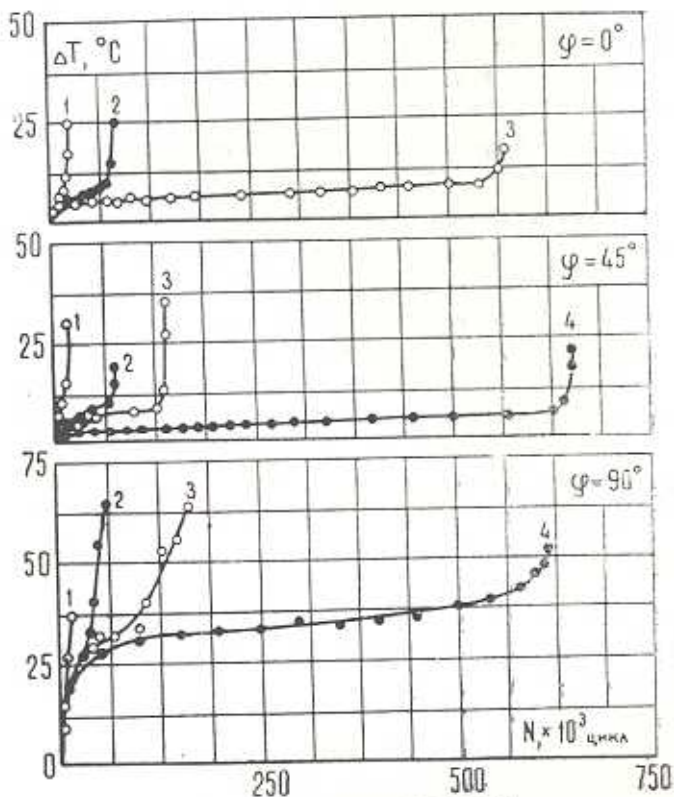
Температура разогрева измерялась на поверхности образца в зоне излома с помощью медноконстантановых термопар. На некоторых кривых виден существенный разброс измеренных температур разогрева при разрушении по сравнению со средне-статистической величиной T_p . Это является следствием малой теплопроводности стеклопластика, проявляющейся в значительной локализации нагрева по длине образца [8]*.

* Расположение термопар на поверхности образца в данных опытах могло отличаться от фактического места излома в пределах до 2–3 мм. При достаточно низких значениях долговечности, в случае совпадения места крепления термопары с сечением

В табл. 1 помещены среднеарифметические значения критической температуры разогрева T_k и температуры разрушения T_p , полученные при различных напряжениях и вычисленные с учетом температуры окружающей среды. Показан разброс среднего значения, равный s/\sqrt{n} что, соответ-

Таблица 2

Угол вырезки образца φ , град	ψ при статич. нагружении	ψ при долговечности N циклов					
		$5 \cdot 10^3$	10^4	$5 \cdot 10^4$	10^5	$5 \cdot 10^5$	10^6
0	1.000	1.000	1.000	1.000	1.000	1.000	1.000
45	0.185	0.156	0.152	0.162	0.161	0.160	0.159
90	0.381	0.288	0.280	0.319	0.328	0.344	0.358



Фиг. 2. Кинетика циклического разогрева СВАМ 5:1 на связующем БФ-4.
 $\varphi = 0^\circ$, 1 — 10.95, 2 — 9.94, 3 — 8.79 kg/mm^2
 $\varphi = 45^\circ$, 1 — 1.76, 2 — 1.66, 3 — 1.50, 4 — 1.38 kg/mm^2
 $\varphi = 90^\circ$, 1 — 3.50, 2 — 3.23, 3 — 2.98, 4 — 2.85 kg/mm^2 .

излома, искажение и измеряемое значение T_p может быть обусловлено недостаточностью времени для передачи тепла гистерезисного нагрева из глубины на поверхность образца.

ствует значимости ~ 0.67 по распределению Стьюдента (s — среднеквадратическое отклонение температуры разогрева, n — число опытов). Величина температуры T_r определялась по методике, предложенной в [9].

Как показывают полученные результаты, при заданной частоте нагружения и напряжениях, соответствующих долговечности 10^3 — 10^6 циклов, соблюдается условие независимости критических значений температур T_k и T_p от напряжения. Эти условия впервые были получены в [10] для температуры T_k и в [8] для температуры разрушения T_p , затем подтверждены в ряде работ других авторов, в том числе [2, 11 и др.].

Вместе с тем, следует отметить, что возможно не всегда соблюдается условие постоянства температуры разогрева в момент разрушения, например, при более широком диапазоне амплитуд напряжений [12—14].

Заметное влияние типа связующего на разогрев проявляется в случаях деформирования стеклопластика в направлениях армирования, особенно в направлении укладки меньшего числа волокон (табл. 1). Сравнение полученных здесь значений с соответствующими характеристиками разогрева стеклопластика, испытанного в работе [11], указывает на значительно более сильный разогрев СВАМ 5:1 на бутвар-фенольном связующем (более 1.5 раза при $\varphi=90^\circ$ и 1.2—1.4 раза, когда $\varphi=0^\circ$). В этом случае температура разогрева при разрушении практически достигает температуры теплостойкости материала [15]*.

При деформировании образцов, вырезанных в диагональном направлении, характерные значения температуры разогрева стеклопластика на смоле БФ-4 оказываются, наоборот, несколько ниже, чем пластика на эпокси-фенольном связующем. Несмотря на это, разрушение образцов на СВАМ 5:1 на БФ-4 при этом носит выраженный тепловой характер, проявляющийся и в том, что образец при температуре T_p , вследствие теплового размягчения смолы, практически теряет свою жесткость. В пользу преимущественно теплового характера разрушения СВАМ на указанной смоле может свидетельствовать и то обстоятельство, что если прервать опыт при температуре разогрева между T_k и T_p и дать образцу некоторое время для остывания, то он почти полностью восстанавливает свою первоначальную жесткость.

Выводы. 1. Тип связующего (эпокси- и бутвар-фенольное) мало влияет как на статическую кратковременную прочность стеклопластика СВАМ 5:1 при растяжении, так и на его усталостную прочность при симметричном осевом растяжении—сжатии.

2. Установлено, что анизотропия усталостной прочности ориентированных стеклопластиков типа СВАМ выражена сильнее, чем анизотропия предела прочности. При этом в зависимости от долговечности анизотропия усталостной прочности может усиливаться (эпокси-фенольное связующее) и ослабевать (бутвар-фенольное связующее).

3. Температура разогрева при разрушении СВАМ 5:1 на связующем БФ-4 практически достигает температуры теплостойкости материала по

* Термостойкость стеклопластика на связующем БФ-4, например, по Мартенсу почти в 3 раза ниже, чем теплостойкость стеклопластика на эпокси-фенольном связующем (65° и 200°C) [15].

Мартенсу. В частном случае, когда нагрузка действует в направлении $\varphi = 45^\circ$, вследствие размягчения смолы разрушение образцов носит выраженный тепловой характер.

Институт механики АН
Армянской ССР

Поступила 14 VII 1975

Н. Е. САРКИСЯН

ՕՐԹՈԳԱԼԻԿ ԱՆՁԱՎԱՍՈՐԱՄՈՒՐ ԱՐՄԱՆԱՎՈՐՎԱԾ ԱԳԱԿԵԳՈՒԱԾԻ
ՀԱԳԽԱԾԱՅԻՆ ՀԱՏԿԱԴՐՈՒՅՆԵՐԻ

Ա մ փ ո փ ո ւ ժ

Ատարված է CBAM 5:1 տիպի ապակեպլաստի ցիլին ամրության և ինքատարացման փորձնական չետազոտություն 1200 ցիլ./րոպ. հաճախականությամբ բազմացիկային սիմետրիկ ձգման-սեղման գետքում: Քեզ կիրառվել է թելիկներին զուգահեռ ($\varphi = 0^\circ$ և 90°) և անկյունադաշտին ուղղությամբ:

Մտացված է, որ փորձարկված ապակեպլաստի հոգևածային ամրության անիզոտրոպիան արտահայտվում է ավելի ուժեղ, քան ամրության սահմանի անփորության և կախված հարատեսությունից այն կարող է ուժեղանալ կամ թուլանալ (նայած ինժի տիպին):

Ինքնառաքացման չերմաստիճանը բուռվար-ֆենոլային խեժի վրա պատրաստված ապակեպլաստի բայրայման դիպրում զործնականորեն հասնում է այդ նյութի չերմակայունության չերմաստիճանին (բառ Մարտենսի Մասնավոր դեպքում, եթե $\varphi = 45^\circ$, խեժի դափնիկցման հետևանքով նմուշների բայրայում կռած է արտահայտված չերմային բնույթը):

FATIGUE CHARACTERISTICS OF UNIFORMLY ORTHOGONALLY REINFORCED GLASSFIBRE PLASTIC

N. E. SARKISIAN

Summary

The experimental results of investigation on cyclic strength and heating of glassfibre reinforced plastic, CBAM 5:1 type, under multicyclic symmetrical tension-compression at a frequency of 1200 c/min., are presented. The load is applied along the fibre ($\varphi = 0^\circ$ and 90°) as well as in diagonal direction ($\varphi = 45^\circ$).

ЛИТЕРАТУРА

1. Скулера А. М., Булавс Ф. Я., Роденс К. А. Повреждность и статическая усталость армированных пластиков. Рига, Зинатне, 1971.

2. Саркисян Н. Е. Анизотропия усталостной прочности стеклопластиков типа СВАМ. Изв. АН Арм. ССР. Механика, 1971, т. XXIV, № 2.
3. Андреевская Г. Д. Высокопрочные ориентированные стеклопластики. М., Наука, 1966.
4. Owen M. J. Dynamic Fatigue of Reinforced plastics. „Fatigue and creep in reinforced plastics”. London, 1967.
5. Мартиросян М. М. Влияние неточности сборки пакета на прочность пластин СВАМ. Межиузовский сб. научных трудов. Серия 19 (химическая технология), вып. 2, 1975.
6. Flinney J. M. A review of the discontinuity or hump phenomenon in fatigue S/N curves: theories and further results. „J. Austral. Inst. Metals”, 1968, 13, № 1.
7. Саркисян Н. Е. Прочность и деформативность стеклопластика типа СВАМ при циклическом осевом нагружении. Изв. АН Арм. ССР. Механика, 1969, т. XXII, № 6.
8. Олдырев П. П. Температура разогрева и разрушение пластмасс при циклическом деформировании. Механика полимеров, 1967, № 3.
9. Олдырев П. П. Определение усталостной долговечности пластмасс при циклическом деформировании. Механика полимеров, 1967, № 1.
10. Станислав А. В. Изучение усталостных свойств жестких пластмасс. Автореф. канд. дисс.. М., 1963.
11. Саркисян Н. Е. Влияние анизотропии на циклическую деформативность и разогрев стеклопластиков типа СВАМ. Механика полимеров, 1971, № 5.
12. Зайдес Г. П., Стрелков В. С. Сопротивление стеклопластиков разрушению при малочастотном нагружении. В кн.: Прочность при малом числе циклов нагружения. М., Изд. Машиностр., 1969.
13. Немец Я., Саркисян С. В., Стрелков В. С. Прочность пластмасс. М., Изд. Машиностр., 1971.
14. Сидоренков А. Н., Захаров В. Н. Саморазогрев стеклопластиков при циклическом нагружении. В сб.: Свойства судостроительных стеклопластиков и методы их контроля. Л., Изд. Судостр., 1974, вып. № 3.
15. Физические и механические свойства стеклопластиков. Справ. пособ. под ред. Ю. М. Молчанова. Рига, Изд. Зиннате, 1969.